

центрации электронов от  $\sim 1 \cdot 10^{18}$  см<sup>-3</sup> картина существенно изменяется, поскольку появляются разрешенные состояния в потенциальных ямах у дна зоны проводимости с эффективной глубиной  $\sim (\gamma - E_{\min}^r)$ . Теперь

$$h\nu_{\max} \sim E_{g0} - E_{\min} - [(\gamma - E_{\min}^r) - (\gamma - E_{\min}^p)]. \quad (3)$$

При  $n \leq 1 \cdot 10^{17}$  см<sup>-3</sup> выполняются условия  $E_{\min}^r \ll \gamma$  и  $E_{\min}^r \ll \gamma$ , так что влиянием энергии основного состояния для электронов и дырок на локальную ширину запрещенной зоны можно пренебречь, и смещение  $h\nu_{\max}$  вновь определяется лишь величиной обменной энергии.

Несмотря на то что соотношения (2) и (3) носят оценочный характер, расчет по формуле (3) (кривая 4) находится в удовлетворительном соответствии с экспериментальными данными. Таким образом, зависимость спектрального положения максимума полосы фотолюминесценции от концентрации носителей заряда в широком интервале легирования для твердых растворов In<sub>1-x</sub>Ga<sub>x</sub>P переходного диапазона составов определяется главным образом влиянием взаимодействия электронов с разупорядоченно расположенными ионами примеси.

#### Список литературы

- [1] Шкловский Б. И., Эфрос А. Л. Электронные свойства легированных полупроводников. М., 1979. 416 с.
- [2] Кругоголов Ю. К., Довженко С. В., Диордиев С. А., Кругоголова Л. И., Кунакин Ю. И., Рыжих С. А. // ФТП. 1989. Т. 23. В. 5. С. 887—890.
- [3] Bugajski M., Lewandowski W. // J. Appl. Phys. 1985. V. 57. N 2. P. 521—530.
- [4] Muller H.-J. // Phys. St. Sol. (b). 1985. V. 132. N 2. P. 607—617.
- [5] Алфёров Ж. И., Андреев В. М., Гарбузов Д. З. Трукан М. К. // ФТП. 1972. Т. 6. В. 10. С. 2015—2026.
- [6] Рогачев А. А. // ФТП. 1967. Т. 9. В. 2. С. 369—375.
- [7] Гуляев Ю. В., Плесский В. П. // ЖЭТФ. 1976. Т. 71. В. 4. С. 1475—1480.
- [8] Келдыш Л. В., Прошко Г. П. // ФТП. 1963. Т. 5. В. 12. С. 3378—3389.

Всесоюзный научно-исследовательский институт  
материалов электронной техники  
Калуга

Получено 16.04.1990  
Принято к печати 27.04.1990

ФТП, том 24, вып. 9, 1990

## ПРИМЕСНАЯ ФОТОПРОВОДИМОСТЬ ЭПИТАКСИАЛЬНЫХ СЛОЕВ Ge<sub>x</sub>Si<sub>1-x</sub>, ЛЕГИРОВАННЫХ ФОСФОРОМ

Васильев В. А., Дышловенко П. Е., Копылов А. А., Лютович К. Л.

Метод фотопроводимости, являющийся одним из наиболее эффективных для исследования примесных состояний в полупроводниках, мало применялся при изучении твердых растворов. Большой практический интерес представляют эпитаксиальные слои твердого раствора Ge<sub>x</sub>Si<sub>1-x</sub>, где, однако, характер поведения примесей совершенно не исследован.

В настоящей работе впервые исследована примесная фотопроводимость в твердом растворе Ge<sub>x</sub>Si<sub>1-x</sub>. Слои *n*-типа проводимости были получены методом газофазной эпитаксии на подложках *p*-Si с ориентацией (111). Образцы легировались фосфором в процессе роста. Состав твердого раствора определялся микрорентгеноспектральным анализом и варьировался в пределах  $x = 0 \pm 0.39$ . Толщина слоев составляла  $\sim 5$  мкм, удельное сопротивление при комнатной температуре  $— 5 \pm 50$  Ом·см, концентрация электронов  $— 5 \cdot 10^{13} — 8 \cdot 10^{14}$  см<sup>-3</sup>.

Оптические измерения проводились в диапазоне  $50 \pm 650$  см<sup>-1</sup> с использованием длинноволнового фурье-спектрометра ЛФС-1000, снабженного вакуум-

ным гелиевым криостатом Р-118. Исследуемые образцы закреплялись на серебряной фольге, контактирующей непосредственно с медным хладопроводом. Для обеспечения хорошего теплового контакта все соединения фиксировались серебряным контактоловом. Излучение концентрировалось на образце с помощью латунного конуса. Омические контакты создавались с использованием лазерной технологии [1], расстояние между контактами  $\sim 2$  мм. В качестве материала навески использовалась сурьма. Присоединение контактных проводников осуществлялось при помощи серебряного контактолова. Измерения в основном проводились при температуре  $\sim 10$  К.

При температуре  $\sim 80$  К примесной фотопроводимости не наблюдалось. При  $T \approx 10$  К фотоответ устойчиво регистрировался для всех исследованных

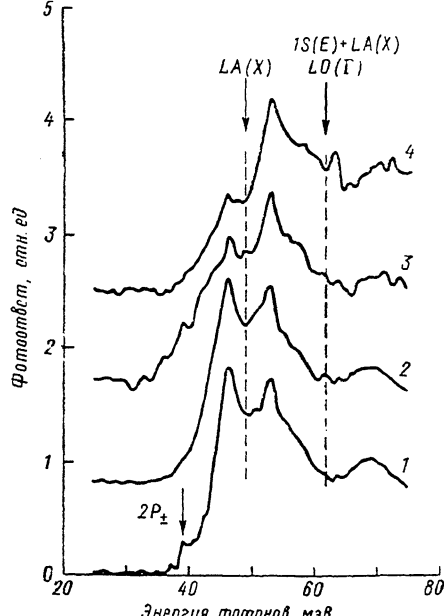


Рис. 1. Спектры фотопроводимости эпитаксиальных слоев  $Ge_xSi_{1-x}:P$  ( $T \approx 10$  К).  
состав  $x$ : 1 — 0, 2 — 0.024, 3 — 0.15, 4 — 0.39.  
Напряженность электрического поля  $\sim 50$  В/см.  
Стрелками показана интерпретация особенностей  
в спектре. Для удобства кривые смещены по  
вертикали.

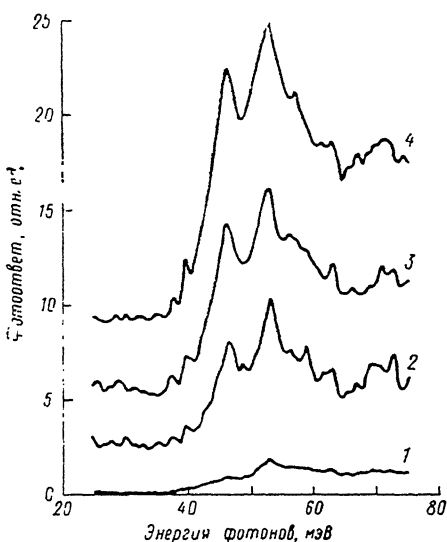


Рис. 2. Спектры фотопроводимости эпитаксиального слоя  $Ge_{0.39}Si_{0.61}$  ( $T \approx 10$  К).  
Напряженность электрического поля, В/см: 1 —  
 $\sim 50$ , 2 —  $\sim 100$ , 3 —  $\sim 130$ , 4 —  $\sim 170$ . Для  
удобства кривые смещены по вертикали.

составов твердого раствора (рис. 1). Видно, что фотопроводимость практически отсутствует при энергиях фотонов ниже 40 мэВ и резко возрастает при больших энергиях, что связано с фотовозбуждением и фотоионизацией донорных центров. Наличие линии 39.2 мэВ вблизи края примесной полосы в слоях, не содержащих Ge, подтверждает присутствие фосфора в исследованных образцах. Данная линия обусловлена фототермической проводимостью с участием перехода  $1S(A_1) \rightarrow 2P_{\pm}$  на фосфорном доноре в кремнии [2].

Форма полосы примесной фотопроводимости, как известно, определяется процессами электрон-фононного взаимодействия [3, 4]. Рассеяние носителей заряда в связанные состояния примесного центра за счет уменьшения времени жизни обуславливает появление в спектре характерных минимумов, расположенных при энергиях

$$\hbar\omega = E_f - E_0 + n\hbar\Omega,$$

где  $E_0$ ,  $E_f$  — энергии основного и возбужденных состояний донорного центра,  $n$  и  $\hbar\Omega$  — соответственно число и энергия фононов, участвующих в процессе рассеяния. Учитывая двухмодовый характер фононного спектра  $Ge_xSi_{1-x}$  [5], можно предположить, что для исследованного диапазона составов будут проявляться Si-подобные фононы:  $LO(\Gamma)$  вблизи  $\Gamma$  ( $\hbar\Omega \approx 64$  мэВ),  $LO$  вблизи  $X$

$\hbar\Omega \approx 59$  мэВ) и  $LA$  вблизи  $X$  ( $\hbar\Omega \approx 47$  мэВ). Соответственно минимум вблизи 50 мэВ можно отнести к  $LA(X)$ -рассеянию в состояние  $1S(A_1)$ , а минимум вблизи 62 мэВ — к  $L\bar{O}(\Gamma)$ -рассеянию в  $1S(A_1)$  и  $LA(X)$ -рассеянию в  $1S(E)$  или  $1S(T_2)$ .

При небольшой концентрации Ge в твердом растворе порог примесной полосы несколько уширяется по сравнению с собственно кремнием (рис. 1, спектры 1, 2) за счет возникновения неупорядоченности кристаллической решетки. При дальнейшем увеличении концентрации Ge наблюдается относительное снижение фотоответа в области  $40 \div 50$  мэВ вблизи порога, что, по-видимому, отражает уменьшение времени жизни за счет рассеяния, связанного с химической и структурной неупорядоченностью кристалла твердого раствора.

Спектры фотопроводимости исследовались также при различных значениях напряженности электрического поля в образцах (рис. 2). С ростом напряженности электрического поля наблюдаются абсолютный рост сигнала, а также его относительное увеличение в области длинноволнового края примесной полосы, что согласуется с результатами работы [6], где для кремния наблюдалось увеличение вклада более глубоких возбужденных состояний. В нашем случае электрическое поле может оказывать влияние на уровни в области хвоста плотности состояний, индуцированного неупорядоченностью структуры твердого раствора.

В твердом растворе энергия ионизации примесного центра в строгом смысле не определена. В этом случае можно говорить о средней энергии ионизации [7]. Полученные нами данные (рис. 1) указывают на то, что в исследованном диапазоне составов средняя энергия ионизации донора фосфора изменяется незначительно. Сделаем оценку ожидаемого изменения энергии ионизации донора с составом в приближении эффективной массы. Для оценки необходимых параметров будем использовать подход [8]. Экстраполируя, получим для состава  $x=0.39$ :  $X_{1c}-X_{5s}=4.35$  эВ,  $a=5.519$  Å,  $\epsilon=12.94$ ,  $m_e=0.201m_0$ . Приближение эффективной массы [9] дает  $E_D(Si)-E_D(Ge_{0.39}Si_{0.61}) \approx 5.6$  мэВ.

#### Список литературы

- [1] Пихтин А. Н., Попов В. А., Яськов Д. А. // ФТП. 1969. Т. 3. В. 11. С. 1646—1648.
- [2] Landolt-Börnstein. Numerical Data and Functional Relationship in Science and Technology. V. 17. Physics of Group IV Elements and III—V Compounds / Ed. by O. Madelung. Berlin—Heidelberg—N. Y., 1982.
- [3] Onton A. // Phys. Rev. Lett. 1969. V. 22. N 7. P. 288—289.
- [4] Scott W. // J. Appl. Phys. 1979. V. 50. N 1. P. 472—482.
- [5] Barker A. S., Jr., Sievers A. J. // Rev. Mod. Phys. 1975. V. 47 (Suppl.). P. S1—S179.
- [6] Carver G. P., Nicholas R. J., Portal J. C., Stradling R. J. // Sol. St. Commun. 1977. V. 24. N 1. P. 55—60.
- [7] Бернхт В., Конылов А. А., Пихтин А. Н. // ФТП. 1977. Т. 11. В. 11. С. 2206—2209.
- [8] Конылов А. А. // Sol. St. Commun. 1985. V. 56. N 1. P. 1—6.
- [9] Faulkner R. A. // Phys. Rev. 1969. V. 184. N 3. P. 713—721.

Ленинградский электротехнический институт  
им. В. И. Ульянова (Ленина)

Получено 23.04.1990  
Принято к печати 27.04.1990

ФТП, том 24, вып. 9, 1990

#### ЛЮМИНЕСЦЕНЦИЯ ВАРИЗОННЫХ СТРУКТУР $Cd_xHg_{1-x}Te$ В УСЛОВИЯХ МАГНИТОКОНЦЕНТРАЦИОННОГО ЭФФЕКТА

Болгов С. С., Малютенко В. К., Пиша В. И., Савченко А. П.,  
Юнович А. Э.

В [1, 2] нами исследовалось рекомбинационное излучение однородных кристаллов  $Cd_xHg_{1-x}Te$  в скрещенных электрическом ( $E$ ) и магнитном ( $H$ ) полях.

В этих условиях под действием силы Лоренца распределение электронно-ды-